



ESCOLA POLITÉCNICA DA UNIVERSIDADE DE SÃO PAULO

**Exercício Programa de Cálculo Numérico (MAP3121)**

Turma 2

No. USP

Lucas Haug

10773565

Renzo Armando dos Santos

10772414

Abensur

São Paulo

2020

Lucas Haug  
Renzo Armando dos Santos Abensur

**Exercício Programa de Cálculo Numérico (MAP3121)**

Relatório apresentado como requisito para avaliação na disciplina MAP3121 - Métodos Numéricos e Aplicações, no curso de Engenharia Elétrica oferecido pela Escola Politécnica da Universidade de São Paulo.

Professor: Nelson Mugayar Kuhl

São Paulo  
2020

## **SUMÁRIO**

<b>1. Introdução</b>	<b>3</b>
<b>2. Desenvolvimento</b>	<b>4</b>
2.1 Primeira tarefa	4
Item a)	7
Item b)	23
Item c)	31
2.2 Segunda Tarefa	34
Item a)	34
Item b)	36
Item c)	41
<b>Conclusão</b>	<b>44</b>
<b>REFERÊNCIAS</b>	<b>45</b>

## 1. Introdução

Este relatório procura especificar a resolução encontrada para o exercício programa da disciplina MAP3121 - Métodos Numéricos e Aplicações, no primeiro semestre de 2020.

O exercício programa procura analisar a evolução da distribuição da temperatura em uma barra ao longo do tempo, por meio das seguintes equações:

$$u_t(t, x) = u_{xx}(t, x) + f(t, x) \text{ em } [0, T] \times [0, 1], \quad (1)$$

$$u(0, x) = u_0(x) \text{ em } [0, 1] \quad (2)$$

$$u(t, 0) = g_1(t) \text{ em } [0, T] \quad (3)$$

$$u(t, 1) = g_2(t) \text{ em } [0, T]. \quad (4)$$

Para a resolução do problema foram utilizados métodos de cálculo numérico, envolvendo um método explícito, além do método de Euler implícito e o método de Crank-Nicolson.

O exercício programa foi elaborado em python 3, sendo separado em arquivos diferentes para melhor organizar o código.

## 2. Desenvolvimento

### 2.1 Primeira tarefa

Para a primeira parte do exercício programa, se analisou a evolução aproximada da equação de calor por meio de fórmulas de diferenças finitas. Para tal se utilizou a equação:

$$u_i^{k+1} = u_i^k + \Delta t \left( \frac{u_{i-1}^k - 2u_i^k + u_{i+1}^k}{\Delta x^2} + f(x_i, t_k) \right), \quad i = 1, \dots, N-1, \text{ e } k = 0, \dots, M-1$$

Para se fazer esses cálculos, no código, foi feita uma matriz de tamanho N+1 por M+1. Sendo N e M valores relacionados à discretização do espaço e do tempo e escolhidos em tempo de execução. Essa matriz é inicializada primeiro com as condições de contorno e as condições iniciais do problema. Depois de inicializar, os pontos internos são calculados com a equação acima ao se percorrer a matriz, sendo feito da seguinte forma:

```
# Inside points calculation
for k in range(0, M):
    for i in range(1, N):
        U[k + 1][i] = U[k][i] + Δt * (((U[k][i - 1] - 2 * U[k][i] + U[k][i + 1]) / (Δx**2))
            + pb.heat_source(time_array[k], x_array[i], N, letter))
```

Onde U é a matriz que guarda os valores da solução aproximada em cada instante de tempo e cada posição e a função “**heat\_source**” retorna o valor da fonte de calor em um determinado instante em uma determinada posição para o problema em questão. Além disso, o vetor “**time\_array**” possui todos os valores de tempo utilizados dada a discretização escolhida, enquanto o vetor “**x\_array**” possui todos os valores de posição.

Além disso, foi feito o cálculo do erro de truncamento e do erro de aproximação, quando possível. Para o cálculo do erro de truncamento, se teve como base as seguintes equações:

$$\tau_i^k(\Delta t, \Delta x) = \frac{u(t_{k+1}, x_i) - u(t_k, x_i)}{\Delta t} - \frac{u(t_k, x_{i-1}) - 2u(t_k, x_i) + u(t_k, x_{i+1}))}{\Delta x^2} - f(x_i, t_k)$$

$$\tau(\Delta t, \Delta x) = \max_{k,i} |\tau_i^k(\Delta t, \Delta x)|$$

Dessa forma, então, iterativamente foi calculado de cada posição da em cada instante, procurando-se assim o erro máximo de truncamento da seguinte forma se baseando nas equações acima:

```
# Truncation error calculation
max_truncation_error = 0

for k in range(0, M):
    for i in range(1, N):
        first_term = (pb.u_solution(time_array[k + 1], x_array[i], letter)
                      - pb.u_solution(time_array[k], x_array[i], letter)) / Δt
        second_term = (pb.u_solution(time_array[k], x_array[i - 1], letter)
                      - 2 * pb.u_solution(time_array[k], x_array[i], letter)
                      + pb.u_solution(time_array[k], x_array[i + 1], letter)) / (Δx**2)

        current_truncation_error = abs(first_term - second_term
                                         - pb.heat_source(time_array[k], x_array[i], N, letter))

        if current_truncation_error > max_truncation_error:
            max_truncation_error = current_truncation_error
```

Onde a função “**u\_solution**” retorna o valor da solução exata em um determinado instante e em uma determinada posição para o problema em questão.

Por fim, para o cálculo do erro de aproximação da solução, se teve como base as seguintes equações:

$$e_i^k = u(t_k, x_i) - u_i^k$$

$$||e^k|| = \max_i |e_i^k|$$

Com as equações acima, considerando-se o instante de tempo  $t = 1$  para o cálculo do erro máximo de aproximação, foi elaborada a seguinte lógica para se procurar qual o maior erro de aproximação:

```
# Approximation error calculation for T = 1
max_approx_error = 0

for i in range(0, N):
    current_approx_error = abs(pb.u_solution(time_array[M], x_array[i], letter) - U[M][i])

    if current_approx_error > max_approx_error:
        max_approx_error = current_approx_error
```

Para facilitar a intercompatibilidade de cada método com os diferentes problemas, foram feitas as seguintes funções (algumas já foram mencionadas acima), que têm retornos diferentes dependendo do problema a ser analisado, tendo como parâmetros de entrada em geral um determinado instante e uma determinada posição. Sendo elas:

- `heat_source` → retorna o valor da fonte de calor.

- `u_solution` → retorna o valor da solução exata.
- `initial conditions` → retorna o valor da condição inicial numa posição.
- `boundary conditions` → retorna o valor das condições de contorno em um instante.
- `create u` → retorna uma matriz com as condições de contorno e condições iniciais já preenchidas.

#### Item a)

Ao testarmos o programa com  $T=1$ ,

$$f(t, x) = 10 * \cos(10t)x^2(1-x)^2 - (1 + \sin(10t))(12x^2 - 12x + 2),$$

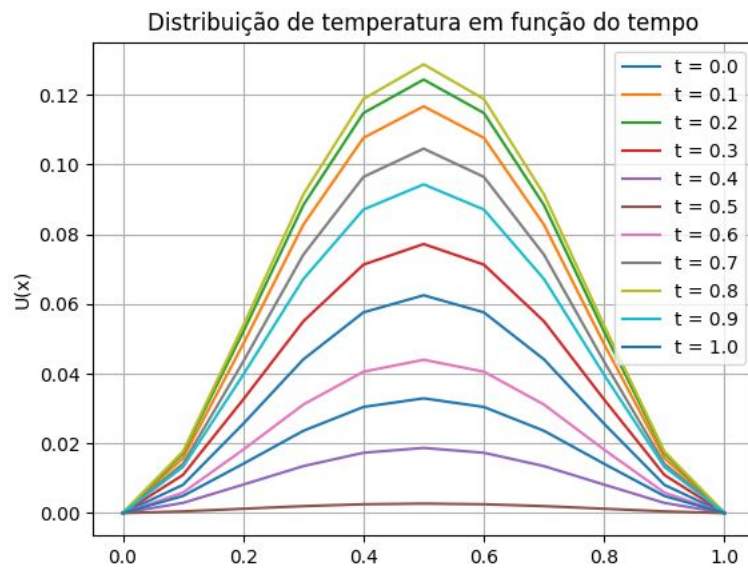
$$u(t, x) = (1 + \sin(10t))x^2(1-x)^2, \quad u_0(x) = x^2(1-x)^2.$$

Foram feitos testes para essa fonte de calor para  $\lambda = 0.25$ ,  $\lambda = 0.5$  e  $\lambda = 0.51$ . Além disso foram feitos testes para diferentes valores de  $N$ : 10, 20, 40, 80, 160, 320.

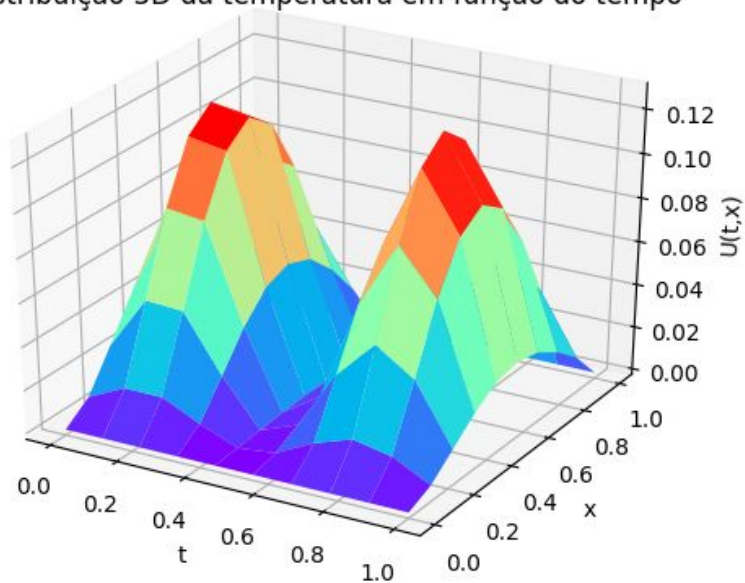
Dessa forma foram obtidas as seguintes soluções, podendo-se ver tanto um gráfico 2D com diferentes instantes de tempo, assim como um gráfico 3D mostrando a variação da temperatura no espaço e no tempo:



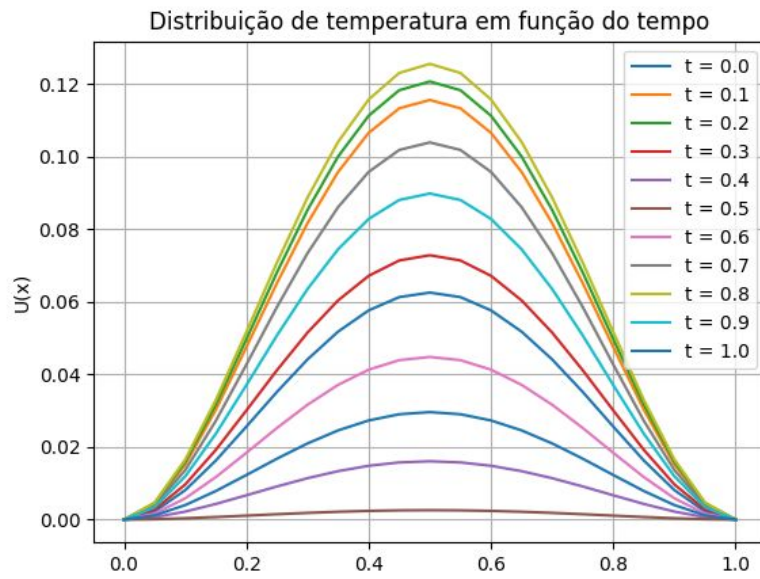
**$N = 10$  e  $\lambda = 0.25$**



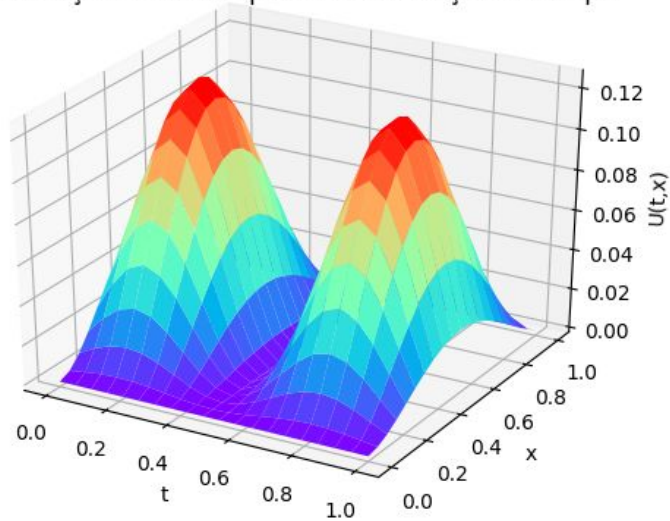
Distribuição 3D da temperatura em função do tempo



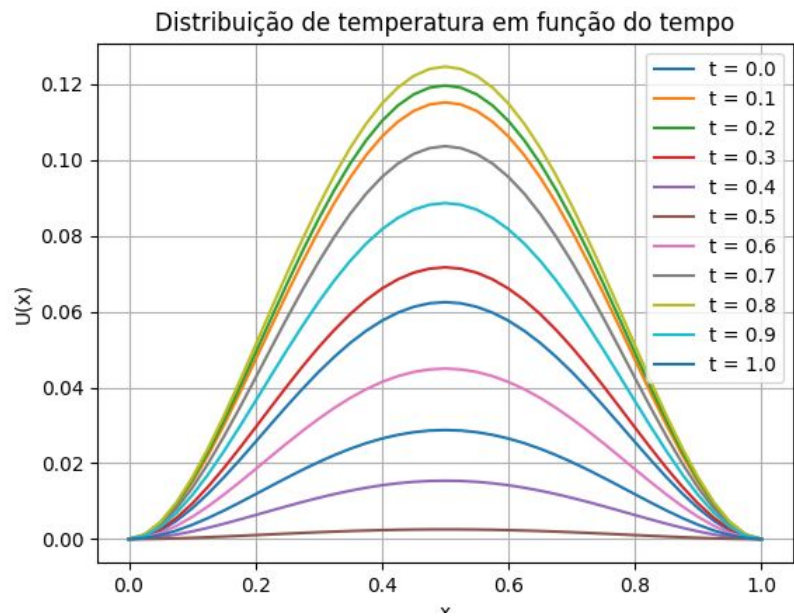
**$N = 20$  e  $\lambda = 0.25$**



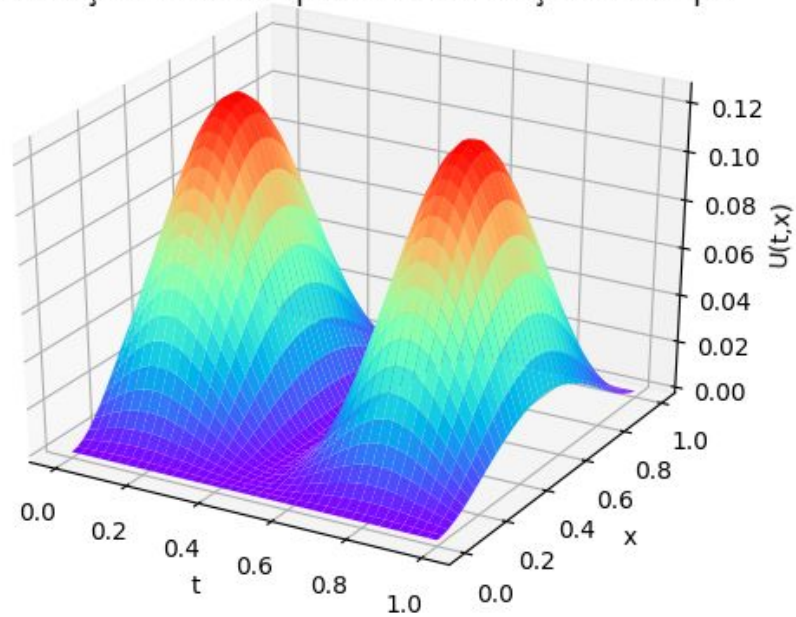
Distribuição 3D da temperatura em função do tempo



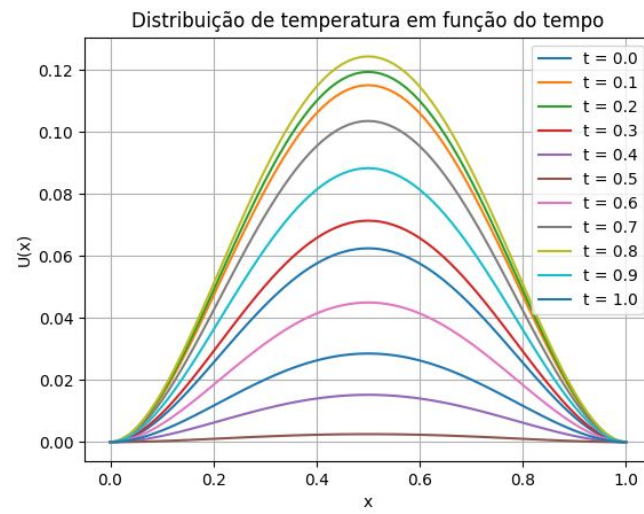
**$N = 40$  e  $\lambda = 0.25$**



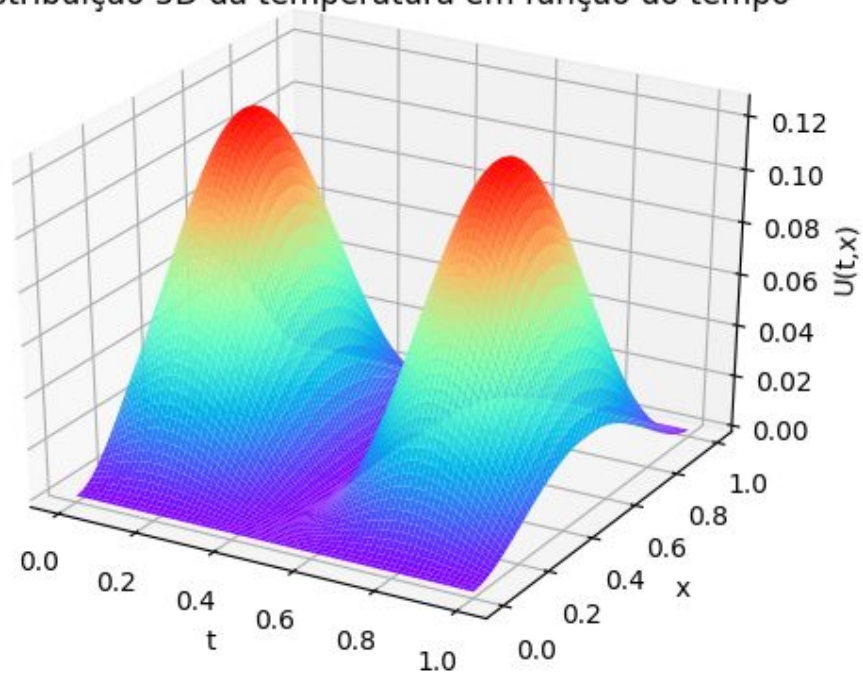
Distribuição 3D da temperatura em função do tempo



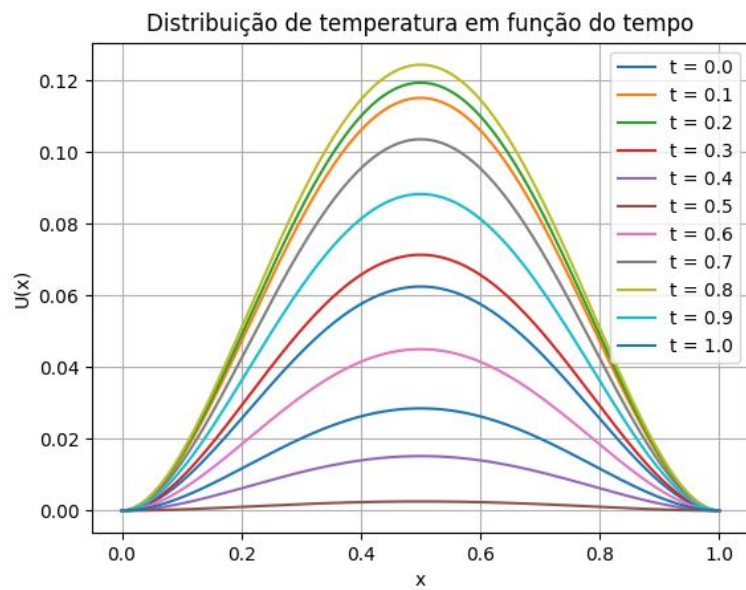
**$N = 80$  e  $\lambda = 0.25$**



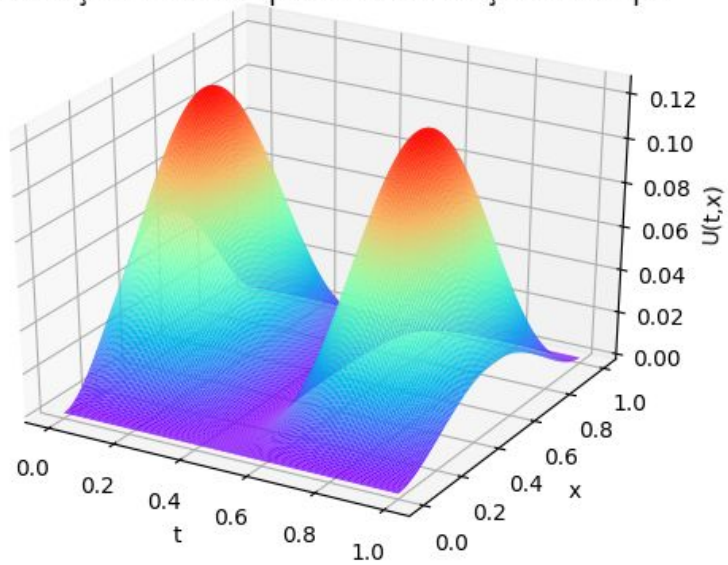
Distribuição 3D da temperatura em função do tempo



**$N = 160$  e  $\lambda = 0.25$**

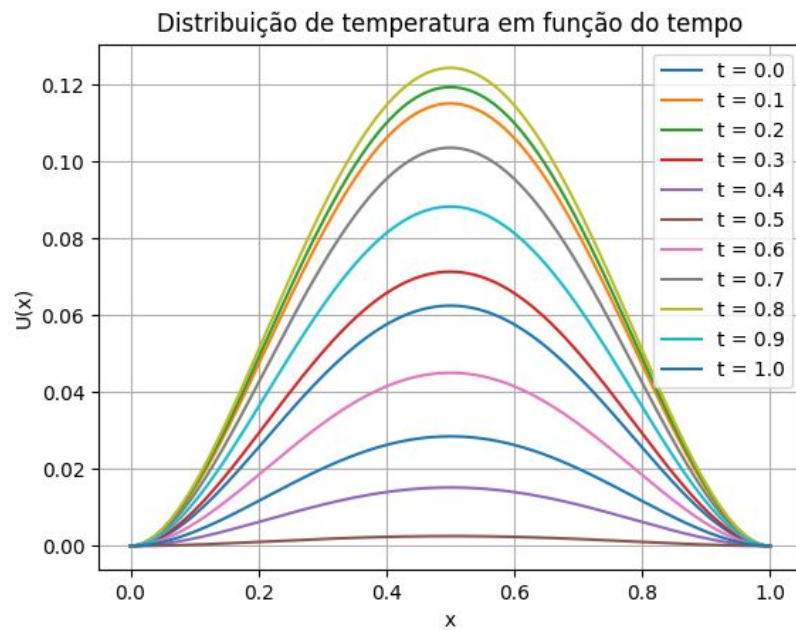


Distribuição 3D da temperatura em função do tempo

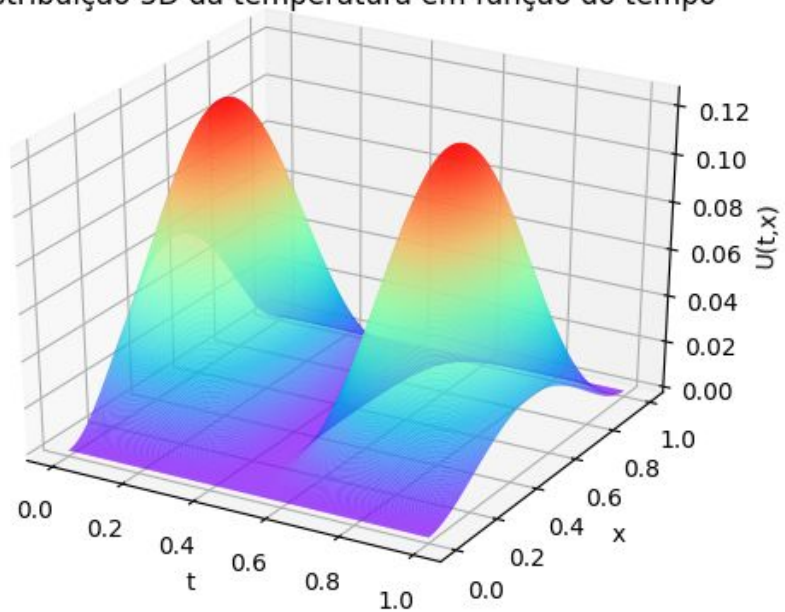




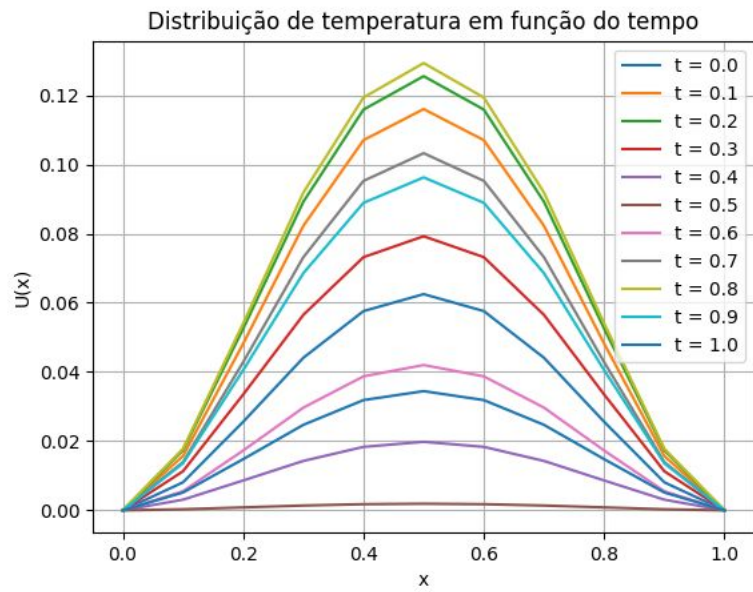
**$N = 320$  e  $\lambda = 0.25$**



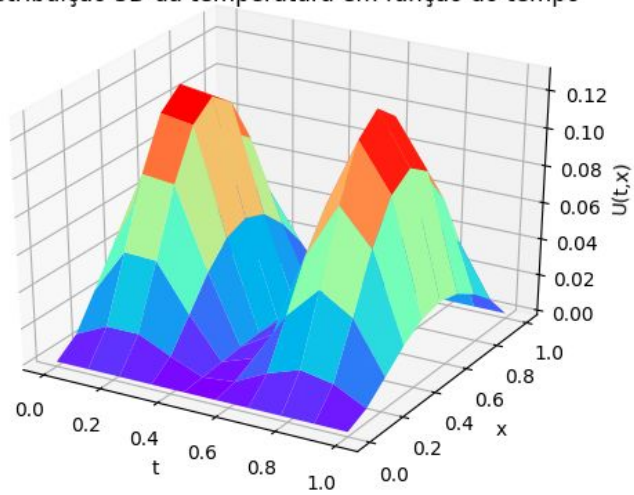
Distribuição 3D da temperatura em função do tempo



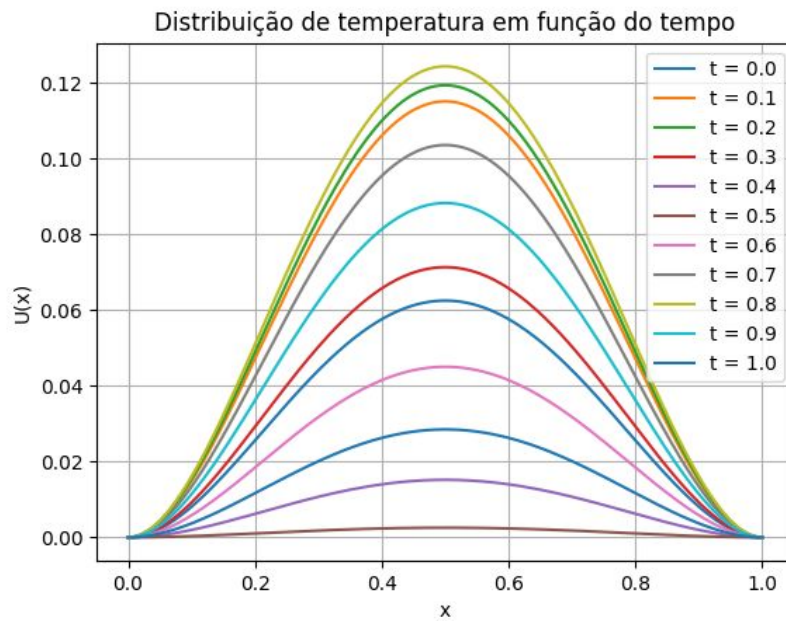
**$N = 10$  e  $\lambda = 0.5$**



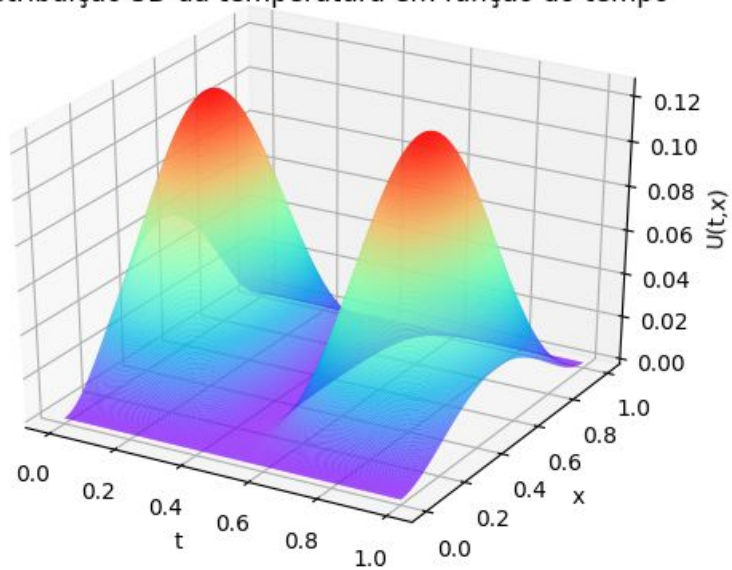
Distribuição 3D da temperatura em função do tempo



**$N = 320$  e  $\lambda = 0.5$**

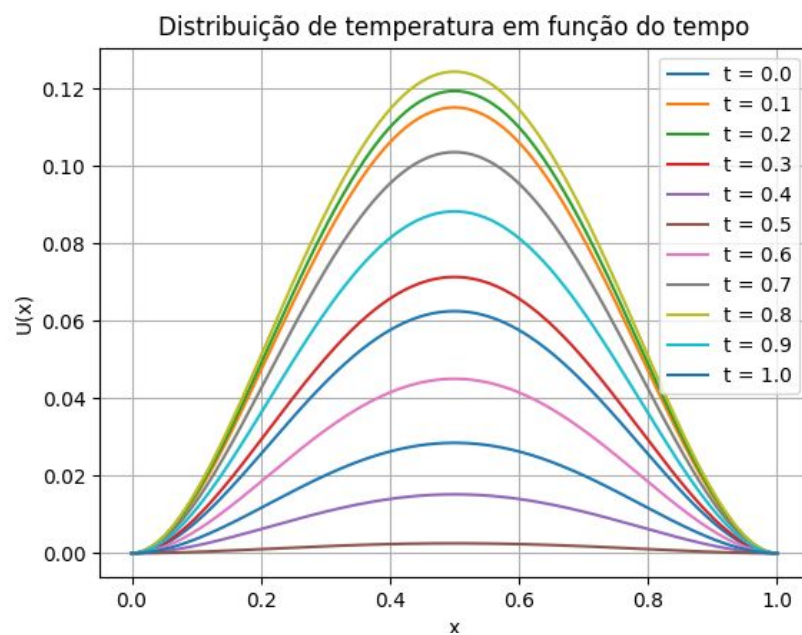


Distribuição 3D da temperatura em função do tempo

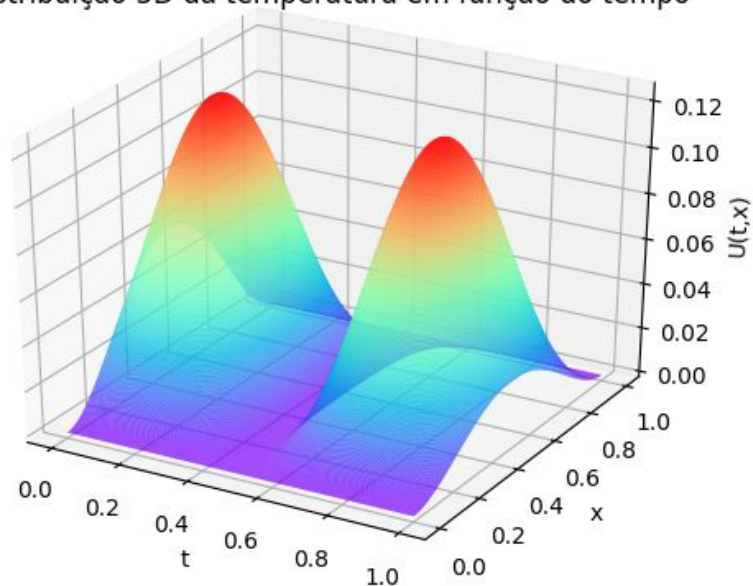




Com a variação de  $N$  entre 10 a 320, podemos observar que tanto para o  $\lambda = 0.25$  quanto para o  $\lambda = 0.5$  que os gráficos de distribuição de temperatura em função do tempo 2D e 3D tendem a tornar-se mais homogêneos com o aumento do  $N$ , ou seja, deixando-se o espaço e o tempo menos discretos, aproximando-se da solução exata, dada por  $u(t, x) = (1 + \sin(10t))x^2(1 - x^2)$ , a qual foi plotada e pode ser vista abaixo:



Distribuição 3D da temperatura em função do tempo



## Cálculos dos erros

Para  $\lambda = 0.25$  foram encontrados os seguintes valores de erro de truncamento e erro de aproximação, para valores de N diferentes:

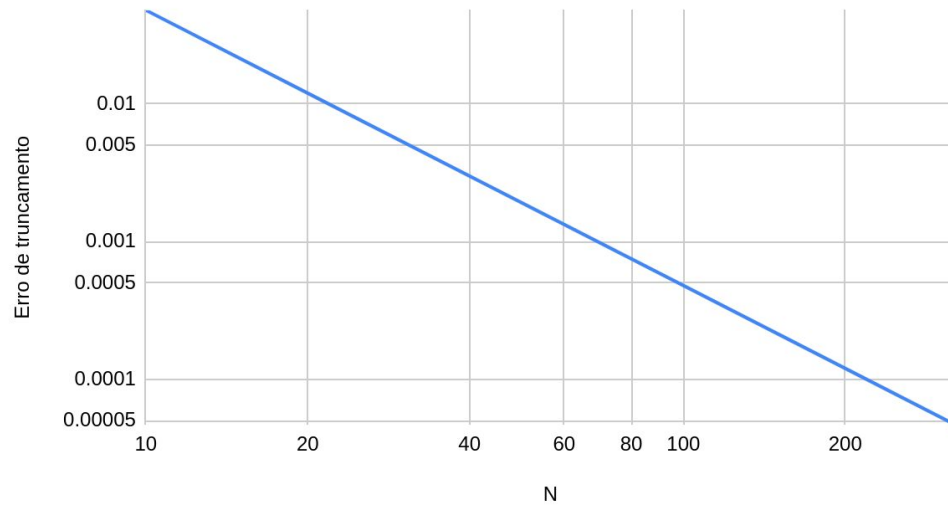
N	Erro truncamento	Erro máximo de aproximação
10	0.04781213186166444	0.0030467842090773634
20	0.011953112410774569	0.0007578239365267428
40	0.00298828107030058	0.00018921504910418552
80	0.0007470703107266274	4.72887202614819e-05
160	0.00018676757901525676	1.182124019476205e-05
320	4.6691906011808726e-05	2.955251310773205e-06

Olhando na tabela, pode-se ver que a relação do erro de truncamento com o N. Ao se duplicar o valor do N, pode-se ver que o erro diminui quatro vezes, dessa forma com um valor de N muito elevado, o erro de truncamento tende a zero. Da mesma, o erro de aproximação da solução também diminui quatro vezes ao se dobrar o N.

Ao se dispor os dados da tabela acima em gráficos em escala logarítmica, pode-se ver o comportamento do erro descrito:

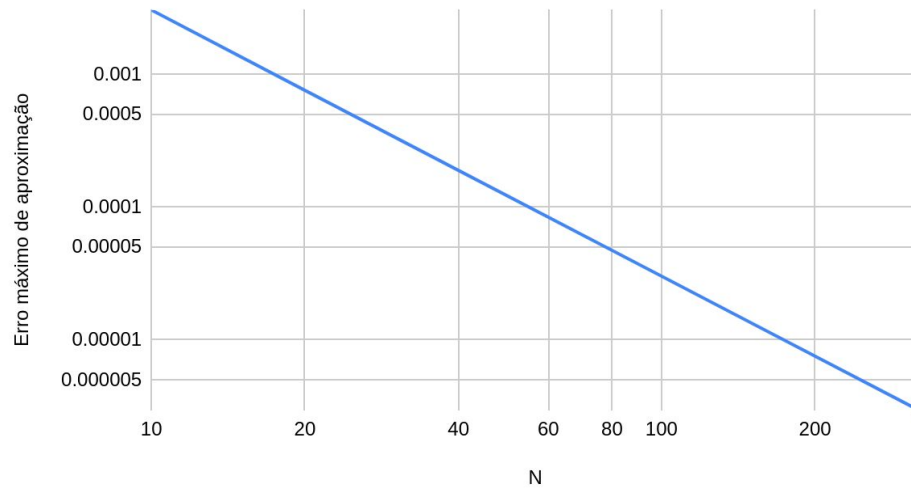
### Gráfico para o erro de truncamento

#### Erro de truncamento para $\lambda = 0.25$



### Gráfico para o erro de aproximação

#### Erro máximo de aproximação para $\lambda = 0.25$



Já com  $\lambda = 0.5$ , obteve-se os seguintes valores para os erros máximos de truncamento e de aproximação:

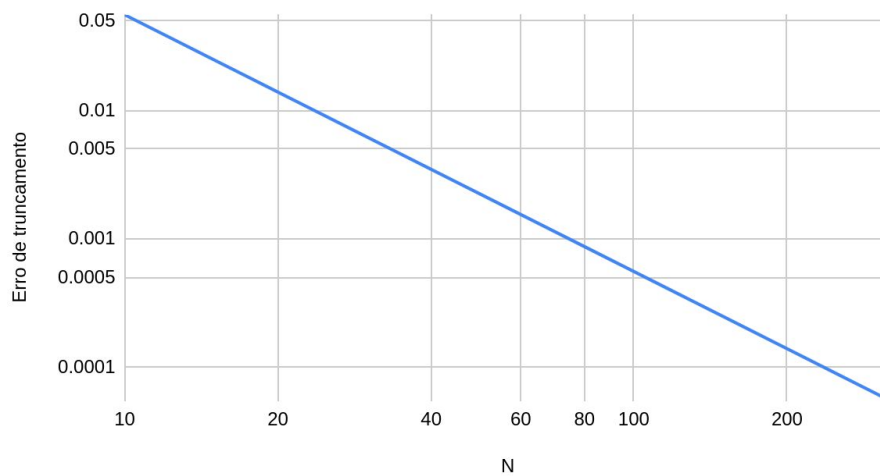
N	Erro truncamento	Erro máximo de aproximação
10	0.05562249945175868	0.0031637147966675702
20	0.01390619334550447	0.0007842085365461181
40	0.003476561759728547	0.0001956372990580199
80	0.0008691406157019799	4.8883476745417015e-05
160	0.0002172851568467138	1.2219254915624145e-05
320	5.4321293740722254e-05	3.054712856203484e-06

Pode-se observar que, assim como para  $\lambda = 0.25$ , o erro diminui quatro vezes ao se dobrar o valor do N, porém, pode ser ver que os valores do erros são ligeiramente maiores quando comparados com cada um dos casos em que  $\lambda = 0.25$ .

Para esses valores de erros, obtemos os seguintes gráficos em escala logarítmica:

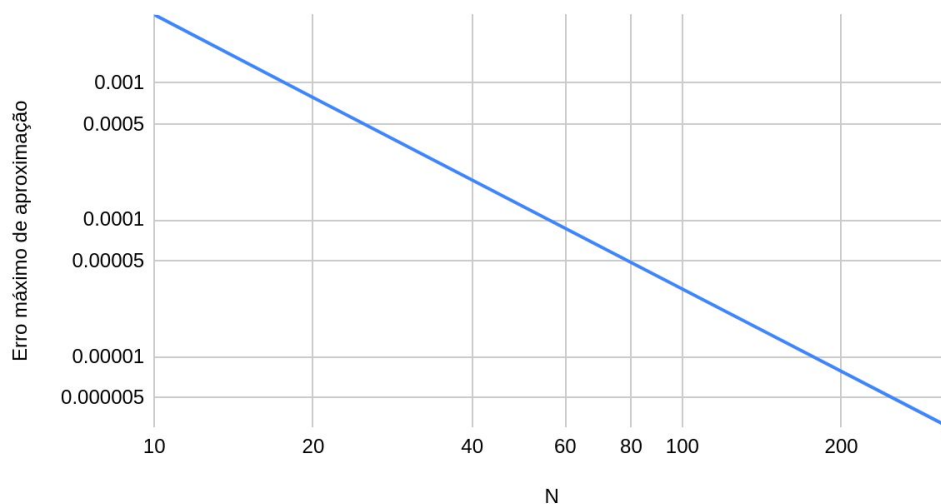
### Gráfico para o erro de truncamento

#### Erro de truncamento para $\lambda = 0.5$



### Gráfico para o erro de aproximação

#### Erro máximo de aproximação para $\lambda = 0.5$



Podemos observar pelos gráficos dos erros truncamentos e erros máximo de aproximação que esses diminuem linearmente em escala logarítmica com o aumento de  $N$ , porém quanto a variação do  $\lambda$  de 0.25 para 0.5, não houve uma modificação significativa na forma como o erro decai, somente nos valores em si.

## Estabilidade do método

Para testar a estabilidade do método, foi feito um teste com  $\lambda = 0.51$

Pode-se ver que o gráfico fica da seguinte forma com  $N = 20$ :

Gráfico para a solução em 2D

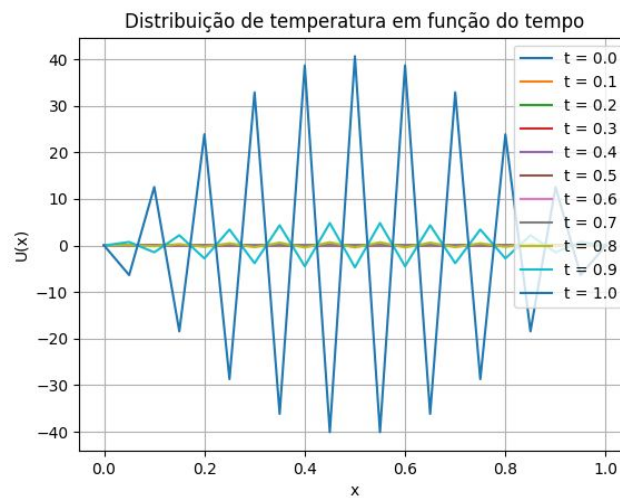
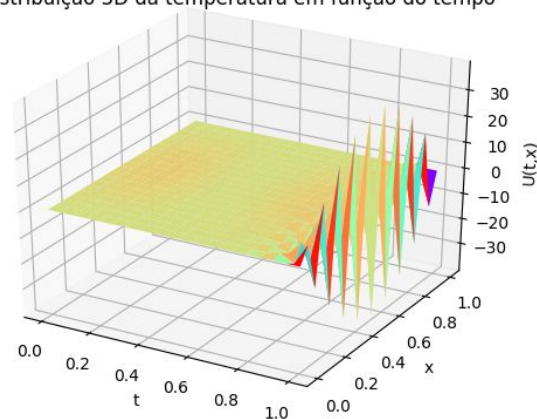


Gráfico para a solução em 3D

Distribuição 3D da temperatura em função do tempo



Além disso foram calculados alguns valores de erros para diferentes valores de N:

N	erro truncamento	erro máximo de aproximação
10	0.05593404086491027	0.003179075442371525
20	0.013984335016362204	40.60403679669783
40	0.00349609288689412	7.803984453547832e+39
80	0.0008740234279343007	2.5499357008114193e+198

Ao testarmos o código com  $\lambda = 0.51$  podemos observar que os gráficos ficam instáveis, não correspondendo ao esperado, além de os valores dos erros de aproximações irem se amplificando enormemente com o aumento do N. Isso ocorre, uma vez que, o método utilizado para gerar a resolução do problema é o “condicionalmente convergente”, em que a condição de  $\lambda = \Delta t \frac{M}{\Delta x^2} \leq \frac{1}{2}$  deve ser respeitada para conseguirmos chegar na solução do problema.

### Fator de redução

Como foi visto anteriormente, ao para cada refinamento de malha, ou seja ao se dobrar o N, o erro cai pela quatro vezes, sendo esse o fator de redução do método.

### Número de passos

Para esse método, o número de passos necessário para se resolver o problema é dado por  $M * (N - 1)$ . Dessa forma pode-se ver o alto custo computacional do método, uma vez que M é dado por  $M = \frac{N^2}{\lambda}$ , então o número de passos pode ser calculado por  $(N^3 - N^2) / \lambda$ .

Dessa forma, o número de passos necessários ao se usar  $N = 640$  é dado por seria de 1046937600 para  $\lambda = 0.25$ , e se dobrarmos o  $N$  teríamos 4191027200 passos para o mesmo  $\lambda$ .

### Item b)

Dada a solução exata igual a  $u(t, x) = e^{(t-x)} * \cos(5 * t * x)$ , foi necessário encontrar os valores de  $u_0(x)$ ,  $g_1(t)$ ,  $g_2(t)$  e  $f(t, x)$ .

Para encontrar o valor de  $u_0(x)$  foi necessário substituir na solução exata  $t = 0$ . Já para as condições de contorno  $g_1(t)$  e  $g_2(t)$ , se substituiu na solução exata, os valores de  $x = 0$  e  $x = 1$ , obtendo-se:

$$u_0(x) = e^{-x}$$

$$g_1(t) = e^t$$

$$g_2(t) = e^{(t-1)} * \cos(5t)$$

Para o cálculo de  $f(t, x)$  foi usada a seguinte equação:

$$u_t(t, x) = u_{xx}(t, x) + f(t, x)$$

Dessa forma, foram feitas as seguintes contas para se obter a função da fonte de calor:



$$\begin{aligned}
 f(t,x) &= \frac{\partial u(t,x)}{\partial t} - \frac{\partial u(t,x)}{\partial x^2} \quad \rightarrow u(t,x) = e^{t-x} \cdot \cos(5tx) \\
 f(t,x) &= e^{t-x} \cdot \cos(5tx) + e^{t-x} \cdot (-\sin(5tx) \cdot 5x) - \frac{\partial u(t,x)}{\partial x^2} \\
 \left( \frac{\partial u(t,x)}{\partial x^2} &= \frac{\partial}{\partial x} \left( -e^{t-x} \cdot \cos(5tx) + e^{t-x} \cdot (-\sin(5tx) \cdot 5t) \right) \right) \\
 \frac{\partial u(t,x)}{\partial x^2} &= e^{t-x} \cdot \cos(5tx) + (-e^{t-x}) \cdot (-\sin(5tx) \cdot 5t) + \\
 &\quad + (-e^{t-x}) \cdot (-\sin(5tx) \cdot 5t) + e^{t-x} \cdot (-\cos(5tx) \cdot 5t \cdot 5t) \\
 -\frac{\partial u(t,x)}{\partial x^2} &= -e^{t-x} \cdot \cos(5tx) \cdot (1-25t^2) - 10t \cdot e^{t-x} \cdot \sin(5tx) \\
 f(t,x) &= 25t^2 \cdot e^{t-x} \cdot \cos(5tx) - e^{t-x} \sin(5tx) \cdot (10t + 5x)
 \end{aligned}$$

Obtendo portanto:

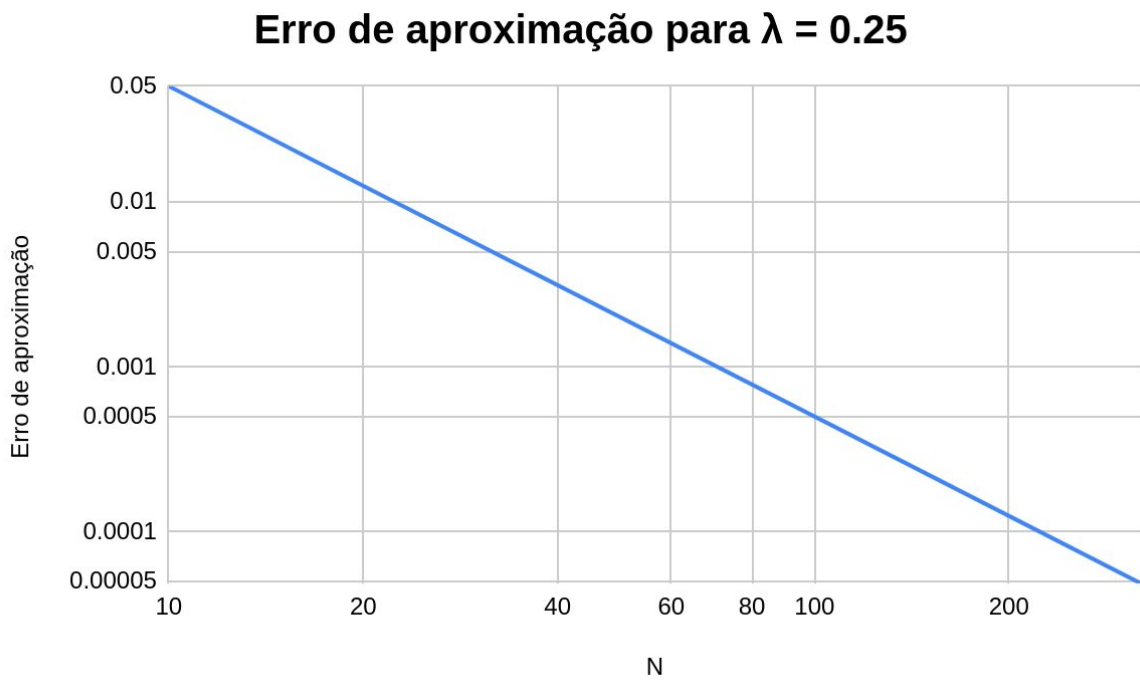
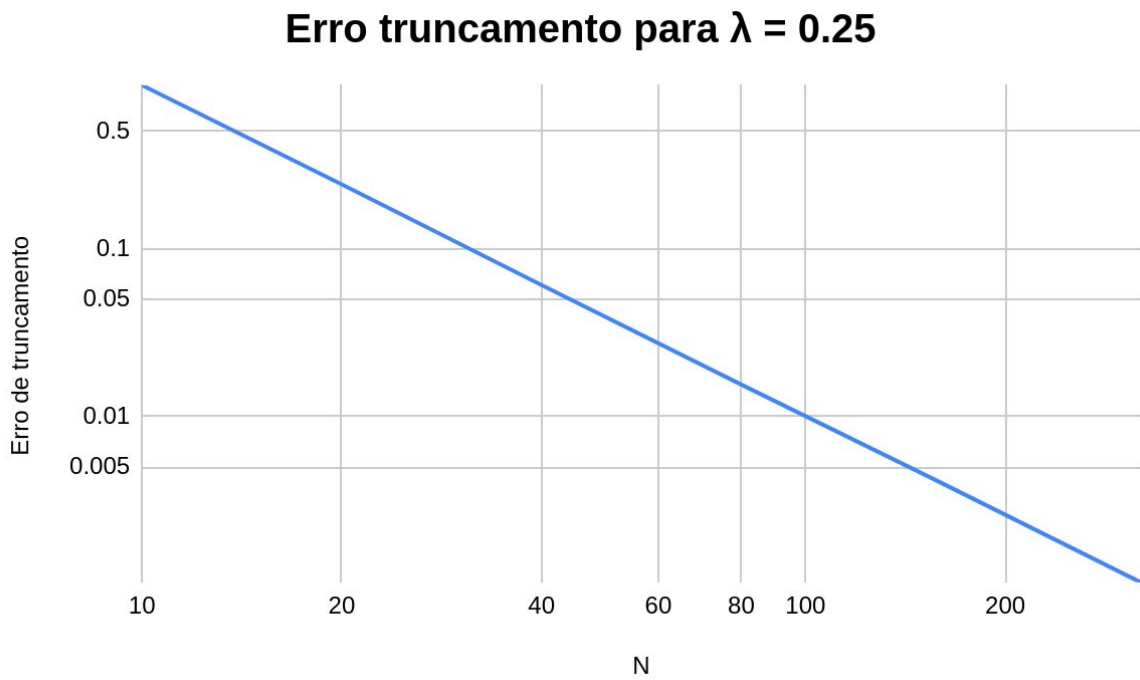
$$f(t, x) = 5 * e^{(t-x)} * ((5t^2 * \cos(5 * t * x)) - (\sin(5 * t * x)(2 * t + x)))$$

Repetindo os experimentos da parte a) temos:

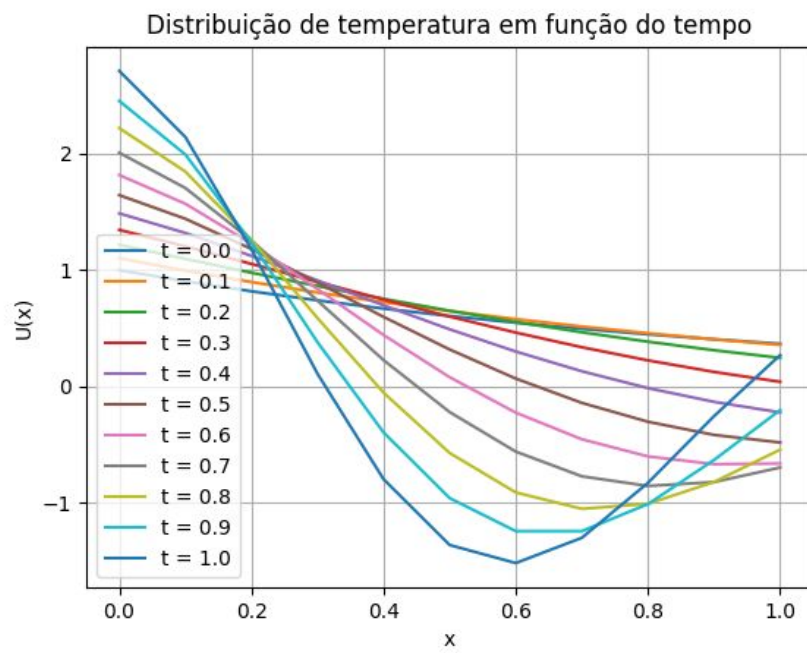
**Com  $\lambda = 0.25$**

N	erro truncamento	erro máximo de aproximação
10	0.9366592480833589	0.05004831210205496
20	0.241052334904289	0.01249945308638023
40	0.0606369798395221	0.0031285343222757778
80	0.015501788268963423	0.0007818727804080883
160	0.004038316758141036	0.0001954955584333451
320	0.0010297042071982787	4.887286255383927e-05

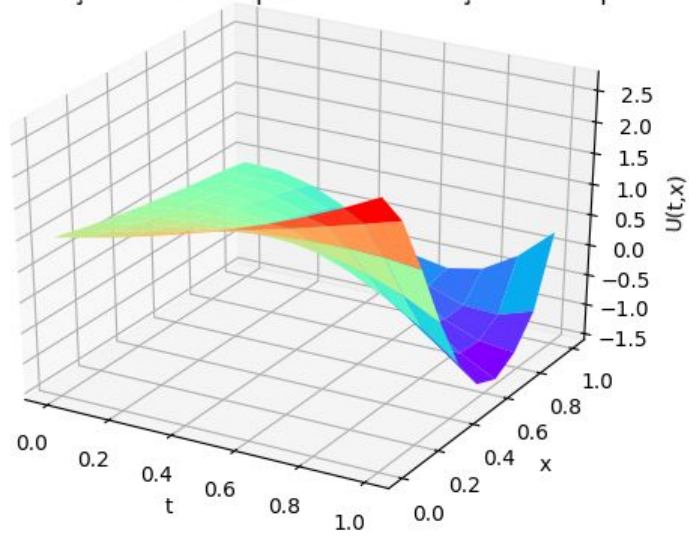
Obtendo-se o seguintes gráficos em escala logarítmica para os erros:



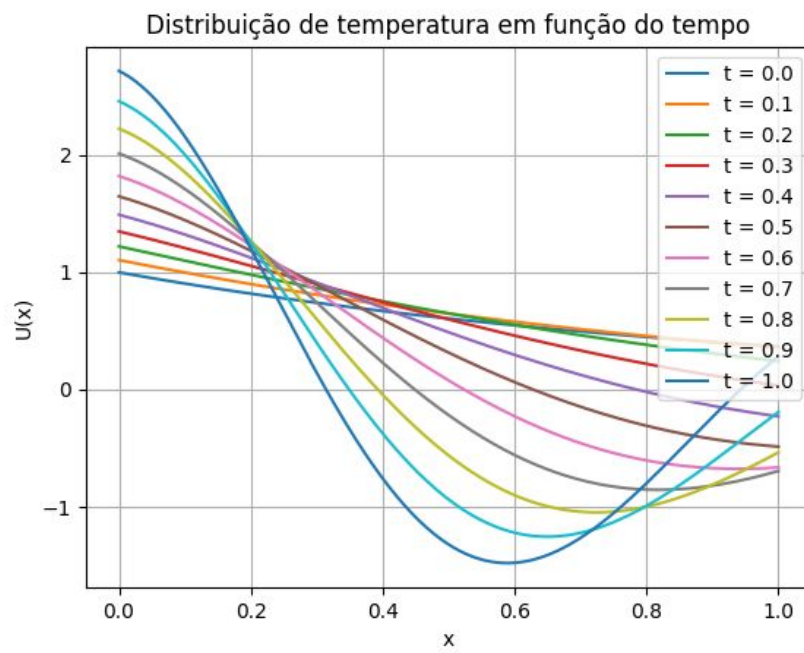
**N = 10**



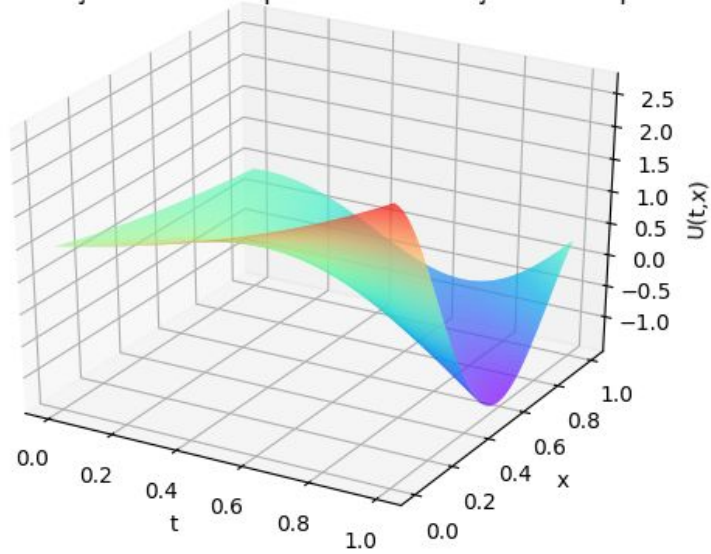
Distribuição 3D da temperatura em função do tempo



**N = 320**



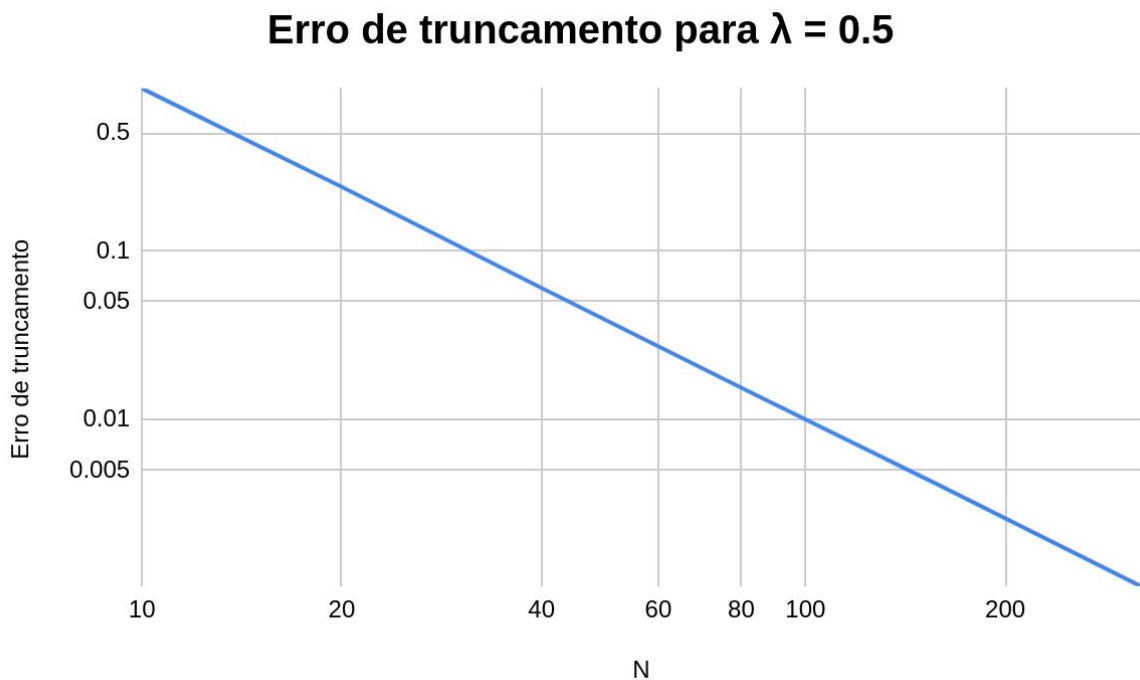
Distribuição 3D da temperatura em função do tempo



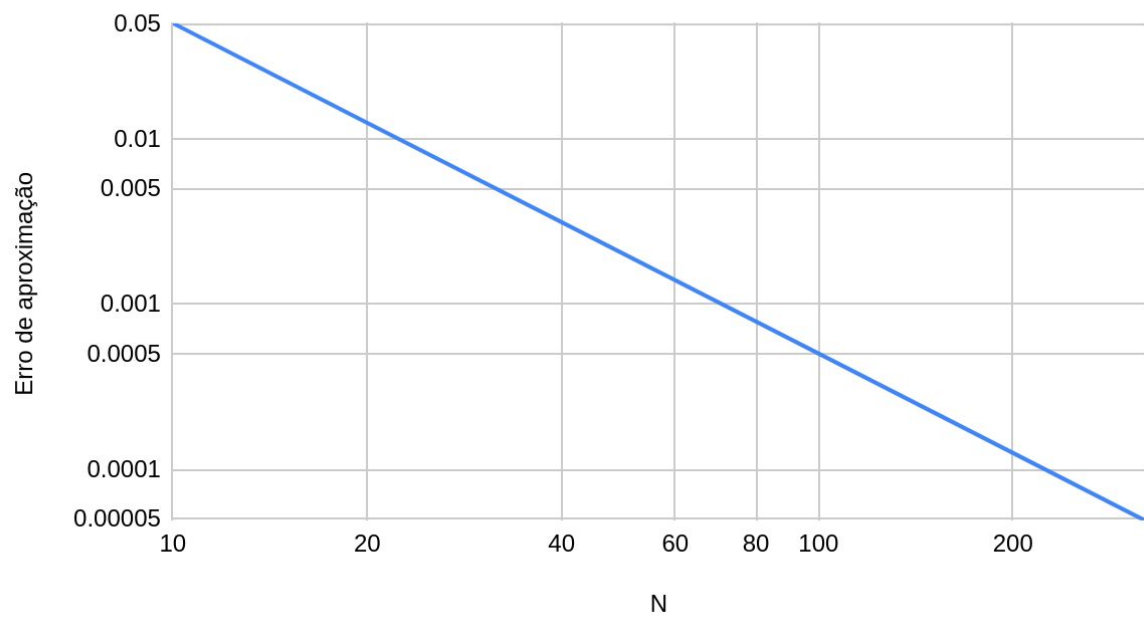
Já para  $\lambda = 0.5$

N	erro truncamento	erro máximo de aproximação
10	0.9187391190443677	0.050452152186500676
20	0.23977592223298672	0.012582235580246737
40	0.06034264115535137	0.003153736723830347
80	0.015446641641233327	0.0007882212592800197
160	0.004024948856212518	0.00019704199468506545
320	0.0010263850685703346	4.92612910780732e-05

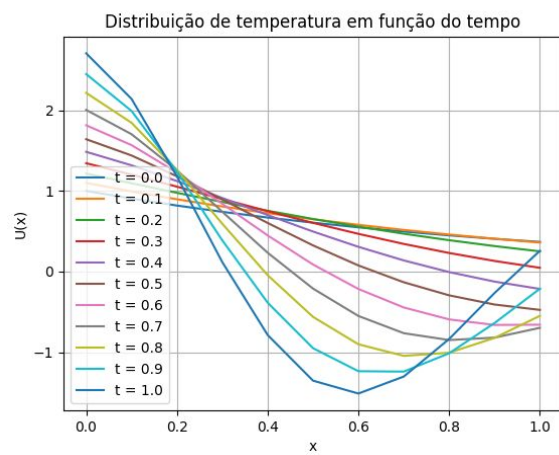
Obtendo-se os seguintes gráficos em escala logarítmica para os erros:



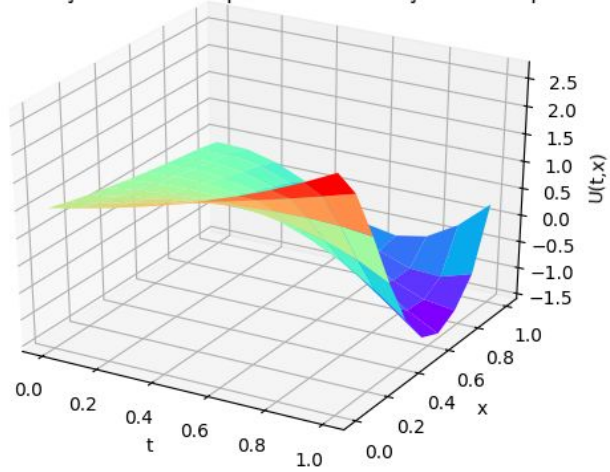
## Erro de aproximação para $\lambda = 0.5$



**$N = 10$**

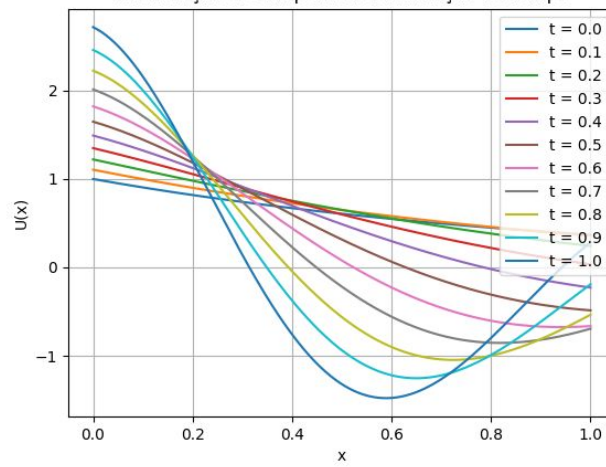


Distribuição 3D da temperatura em função do tempo

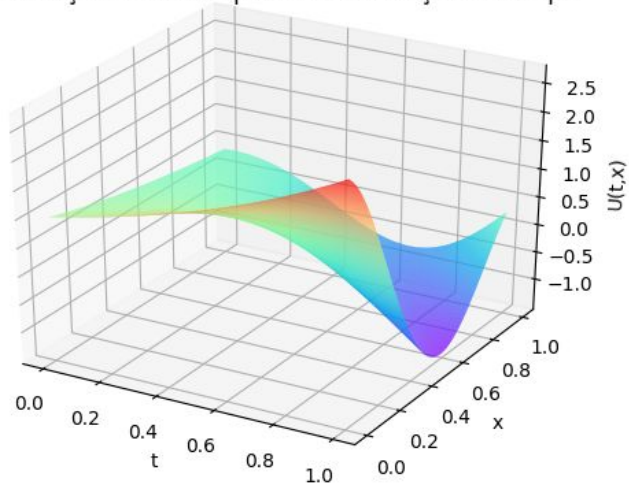


**N = 320**

Distribuição de temperatura em função do tempo



Distribuição 3D da temperatura em função do tempo



### Item c)

Para o item c foi necessário criar uma fonte pontual, a qual foi colocada no código da seguinte maneira:

```
r = 10000 * (1 - 2 * (t**2))

h = 1 / N
p = 0.25

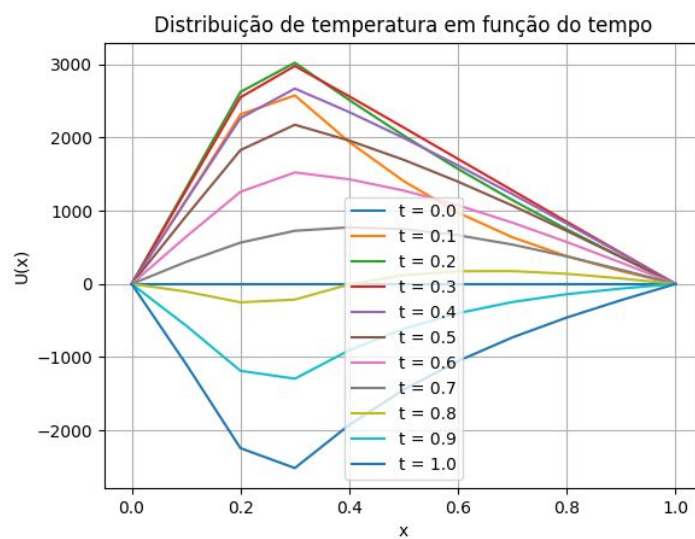
if (p - h / 2) <= x <= (p + h / 2):
    gh = N
else:
    gh = 0

result = r * gh
```

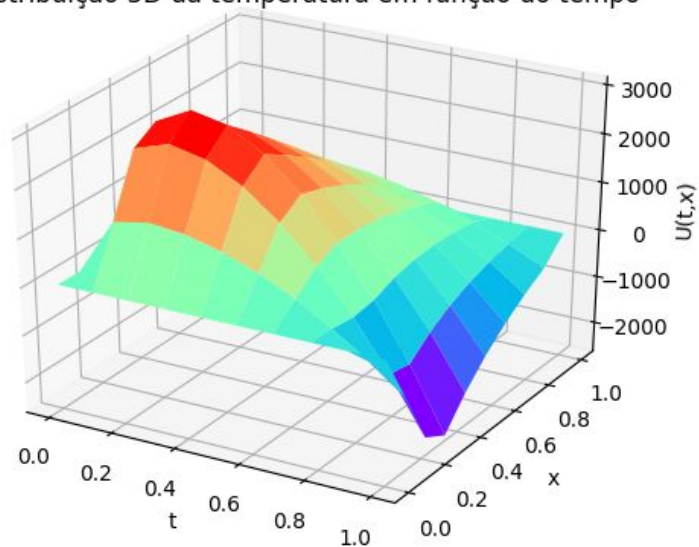


Então foram plotados os gráficos, para se obter a solução do problema numericamente, chegando nos seguintes gráficos:

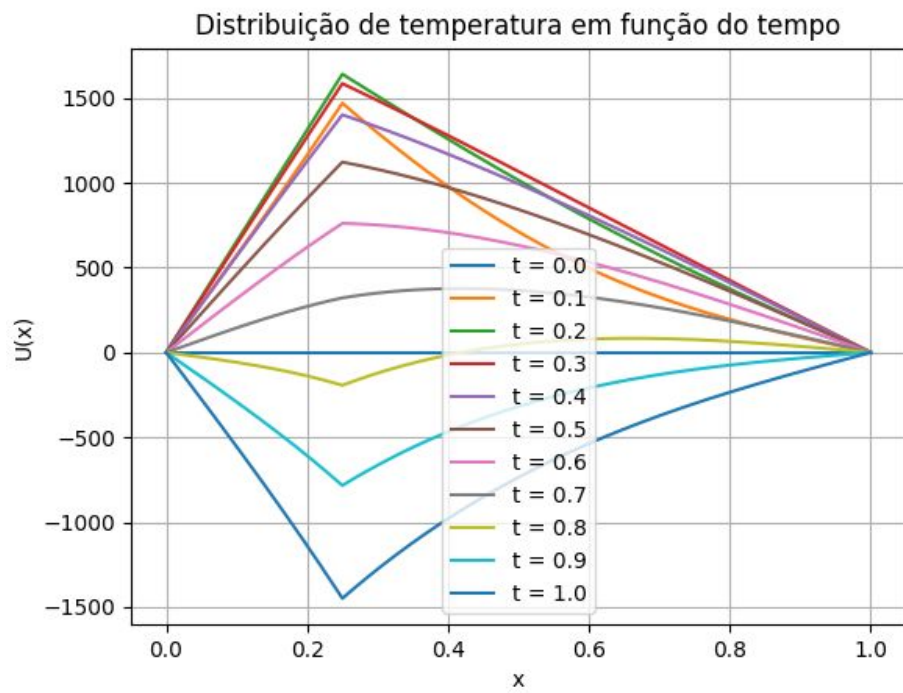
**$N = 10$  e  $\lambda = 0.25$**



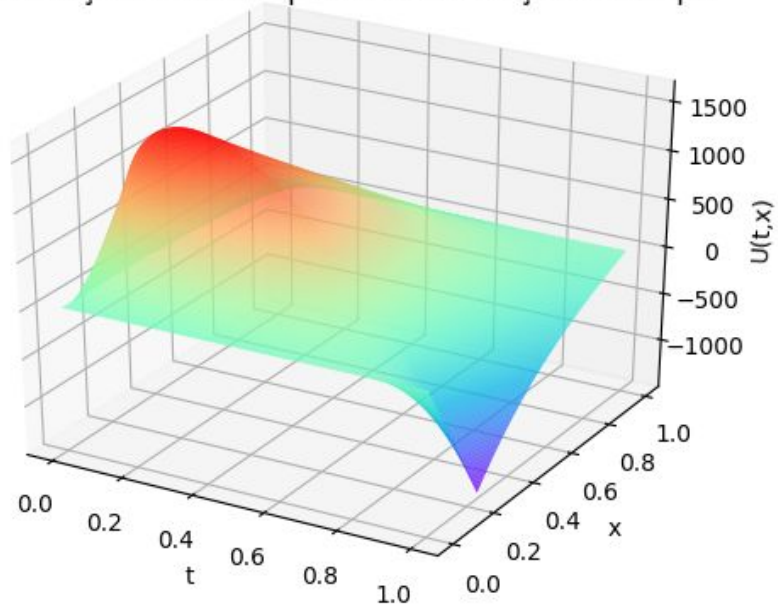
Distribuição 3D da temperatura em função do tempo



$$N = 320 \quad \lambda = 0.25$$



Distribuição 3D da temperatura em função do tempo



## 2.2 Segunda Tarefa

Na segunda parte da tarefa o foco foi a implementação de dois novos métodos para o mesmo problema, procurando assim encontrar as vantagens ou desvantagens que os métodos de Euler implícito e o de Crank-Nicolson possuem em comparação ao método de Condicionalmente convergente.

### Item a)

Para implementação a implementação da função que decompõe a matriz tridiagonal A foi feita a seguinte função:

```
def matrix_decomposition(a_matrix_diag, a_matrix_subdiag):  
    """  
    Decompõe uma matrix A tridiagonal simétrica em três matrizes  
    L, D e Lt, retornando apenas dois vetores que representam as  
    matrizes L e D.  
    """  
  
    array_size = len(a_matrix_diag)  
  
    l_matrix_array = np.zeros(array_size, dtype=float)  
    d_matrix_array = np.zeros(array_size, dtype=float)  
  
    l_matrix_array[0] = 0  
    d_matrix_array[0] = a_matrix_diag[0]  
  
    for i in range(1, array_size):  
        l_matrix_array[i] = a_matrix_subdiag[i] / d_matrix_array[i - 1]  
  
        d_matrix_array[i] = a_matrix_diag[i] - d_matrix_array[i - 1] * ((l_matrix_array[i])**2)  
  
    return l_matrix_array, d_matrix_array
```

A função “matrix\_decomposition” foi criada com o intuito de receber a matrix A tridiagonal simétrica e a decompor em três matrizes L, D e Lt uma vez que  $A = LDL^t$ . Uma vez decomposta a matriz, a função deve retornar dois vetores que representam essas matrizes (“L” e “D”), não é preciso retornar o vetor Lt, pois trata-se apenas da matriz transposta de L.

Então para se resolver um sistema  $Ax = LDL^t x = b$ , foi feita a seguinte função:

```
def solve_system(a_matrix_diag, a_matrix_subdiag, b_array):
    """
    Soluciona um sistema Ax = b, onde A é uma matrix tridiagonal
    simétrica.

    Para a resolução do sistema, é feita a decomposição de A para L*D*Lt.

    É feita a divisão do problema em três sistemas menores:
    L * y = b
    D * z = y
    Lt * x = z
    """

    array_size = len(a_matrix_diag)

    l_matrix_array, d_matrix_array = matrix_decomposition(a_matrix_diag, a_matrix_subdiag)

    # First system solution -> L * y = b
    y_array = np.zeros(array_size, dtype=float)

    y_array[0] = b_array[0]

    for i in range(1, array_size):
        y_array[i] = b_array[i] - l_matrix_array[i] * y_array[i - 1]

    # Second system solution -> D * z = y
    z_array = np.zeros(array_size, dtype=float)

    for i in range(0, array_size):
```

```

    z_array[i] = y_array[i] / d_matrix_array[i]

# Third system solution -> Lt * x = z
x_array = np.zeros(array_size, dtype=float)

x_array[-1] = z_array[-1]

for i in reversed(range(0, array_size - 1)):
    x_array[i] = z_array[i] - l_matrix_array[i + 1] * x_array[i + 1]

return x_array

```

Essa função “solve\_system” recebe a matriz A tridiagonal simétrica e um vetor b para achar a solução da equação  $Ax = b$  e através da decomposição da matriz A tridiagonal simétrica por meio da função “matrix\_decomposition” implementada acima, resolver o problema, quebrando-o em três sistemas menores para facilitar a resolução:

$$L \times y = b$$

$$D \times z = y$$

$$Lt \times x = z$$

Para então retornar o valor do vetor x que representa a solução do problema .

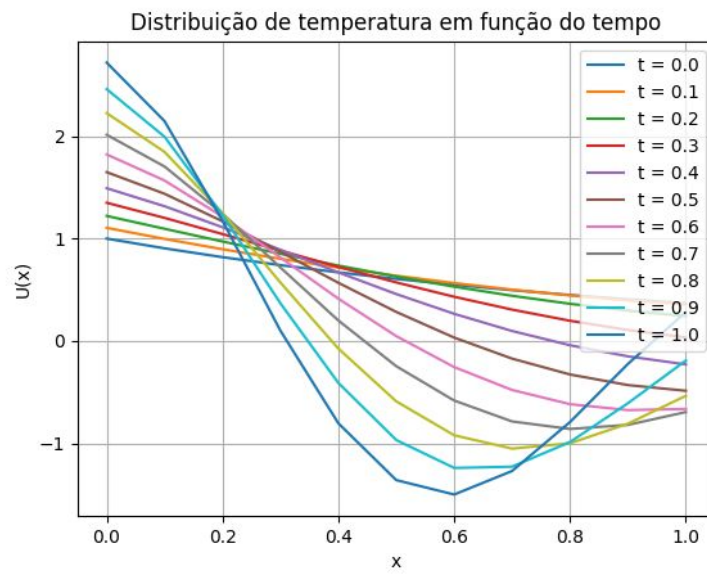
### Item b)

Repetindo os mesmos testes da primeira tarefa com o método de Euler implícito, e utilizando  $\Delta t = \Delta x$ .

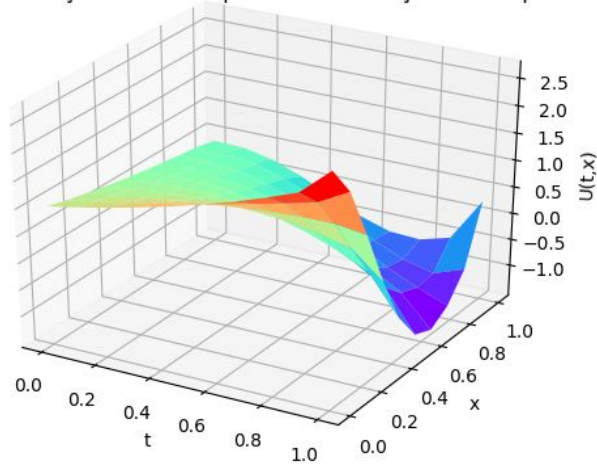
Para demonstração do resultado foi utilizada a fonte do item b da primeira parte.

Obtemos assim, os seguintes resultados:

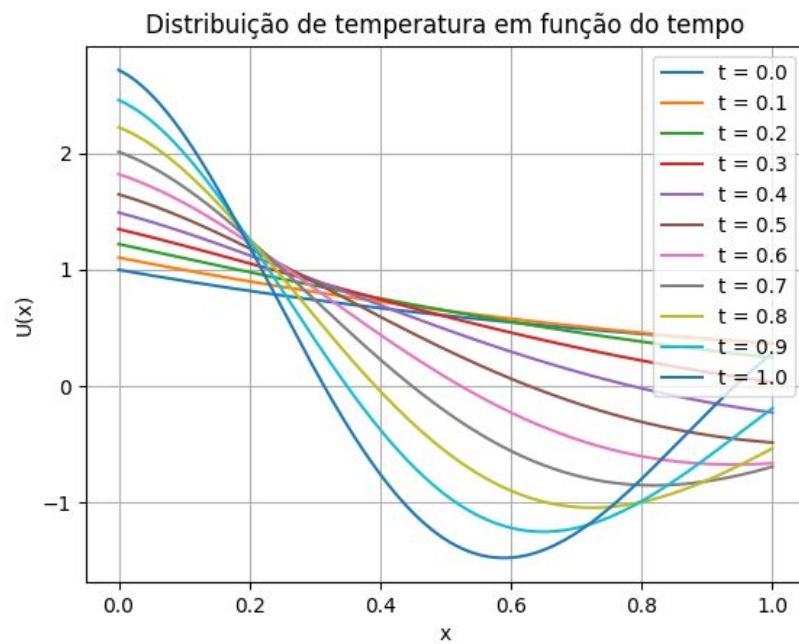
**N = 10**



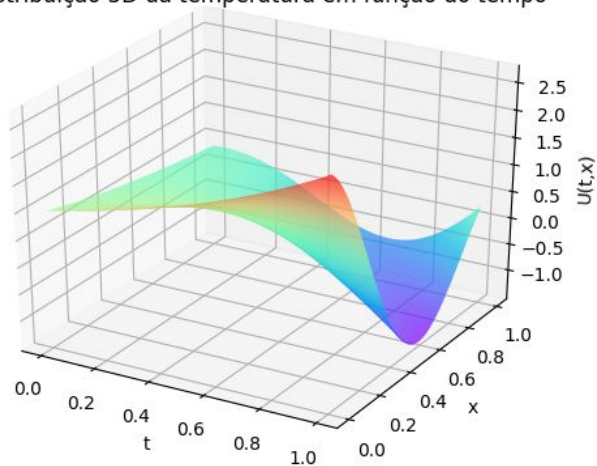
Distribuição 3D da temperatura em função do tempo



**N = 320**



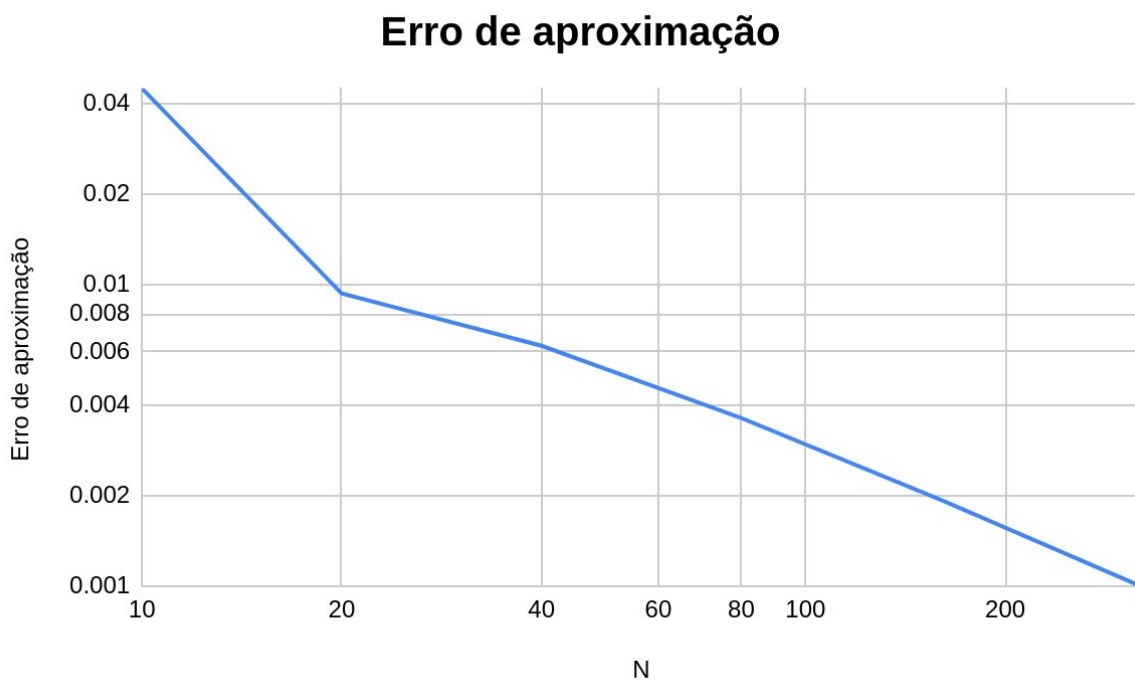
Distribuição 3D da temperatura em função do tempo



Foram obtidos os seguintes valores de erros para diferentes valores de N para o método de Euler implícito:

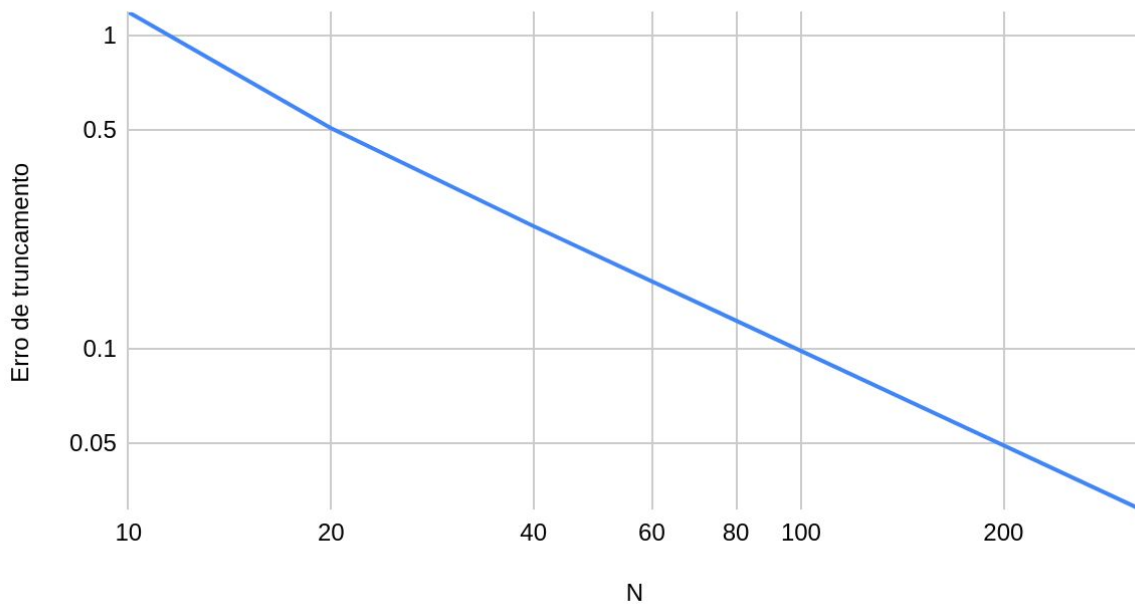
N	Erro truncamento	Erro máximo de aproximação
10	1.1898730473488968	0.04496773139525201
20	0.5084911324580745	0.009371453935905216
40	0.24749051547502798	0.006275526446844593
80	0.1237251194276765	0.0036093258258742544
160	0.06185224218035401	0.0019292318120289753
320	0.030923826435108825	0.00099675666629917

Obtendo-se os seguintes gráficos em escala logarítmica:





## Erro de truncamento



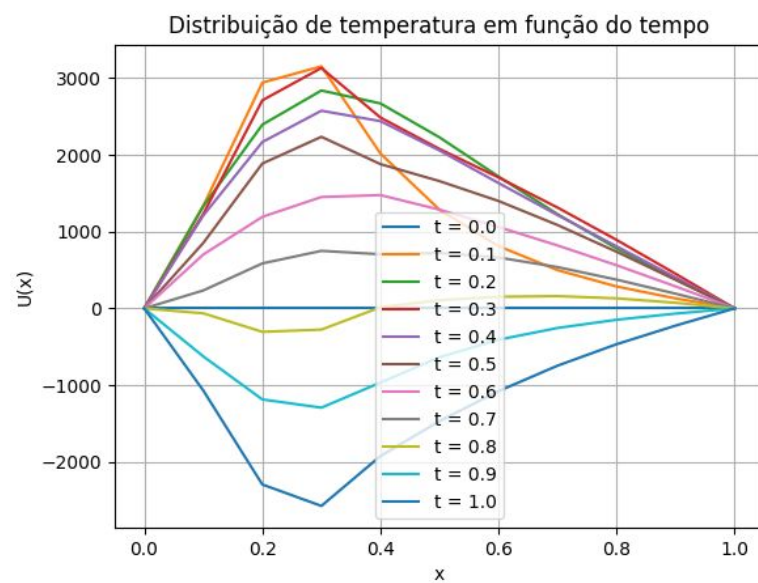
Podemos observar assim que ao se dobrar o valor de  $N$ , o erro cai pela metade, provando que a ordem de convergência do método é de 2.

A partir da implementação do método de Euler implícito verificamos que a velocidade de execução do programa se torna muito mais rápida quando comparada ao Condicionamento Convergente. Porém o erro verificado para aproximação e truncamento é relativamente maior do que o método de Condicionamento Convergente, para um mesmo  $N = 320$ . No método de Condicionamento Convergente com  $\lambda = 0.25$  temos um erro de aproximação igual a  $2.955251310773205e-06$  e um erro de Truncamento igual a  $4.6691906011808726e-05$ , já para o método de Euler com o mesmo  $N$  temos um erro de aproximação igual a  $0.00099675666629917$  e um erro de truncamento igual a  $0.030923826435108825$ , ou seja um erro de truncamento cerca de 662,2952258 vezes maior e um erro de aproximação cerca de 337,283216038 vezes maior quando comparados.

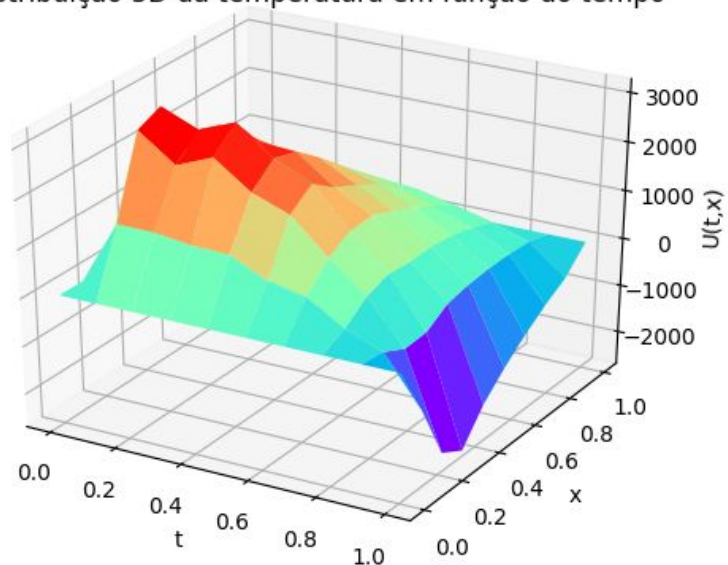
### Item c)

Repetindo os mesmos testes com o método de Crank-Nicolson e utilizando a fonte de calor do item b da primeira parte para demonstração, obtemos:

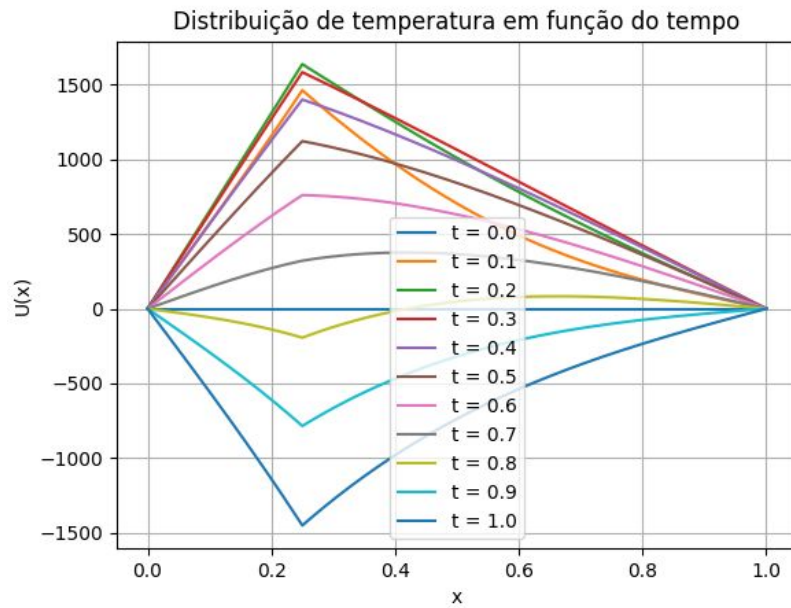
**N = 10**



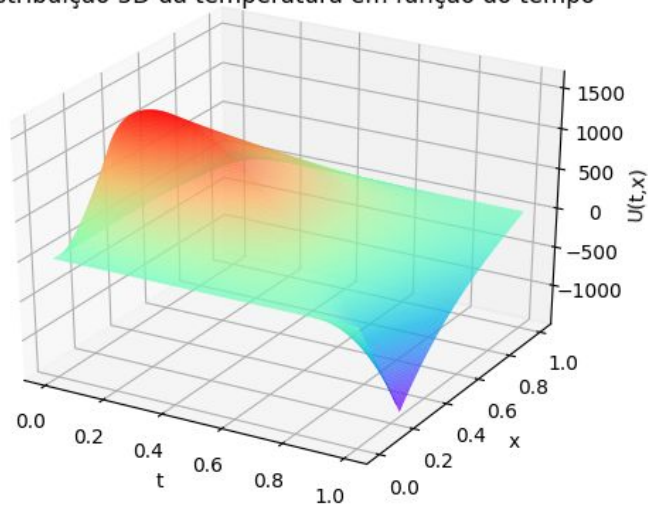
Distribuição 3D da temperatura em função do tempo



**N = 320**



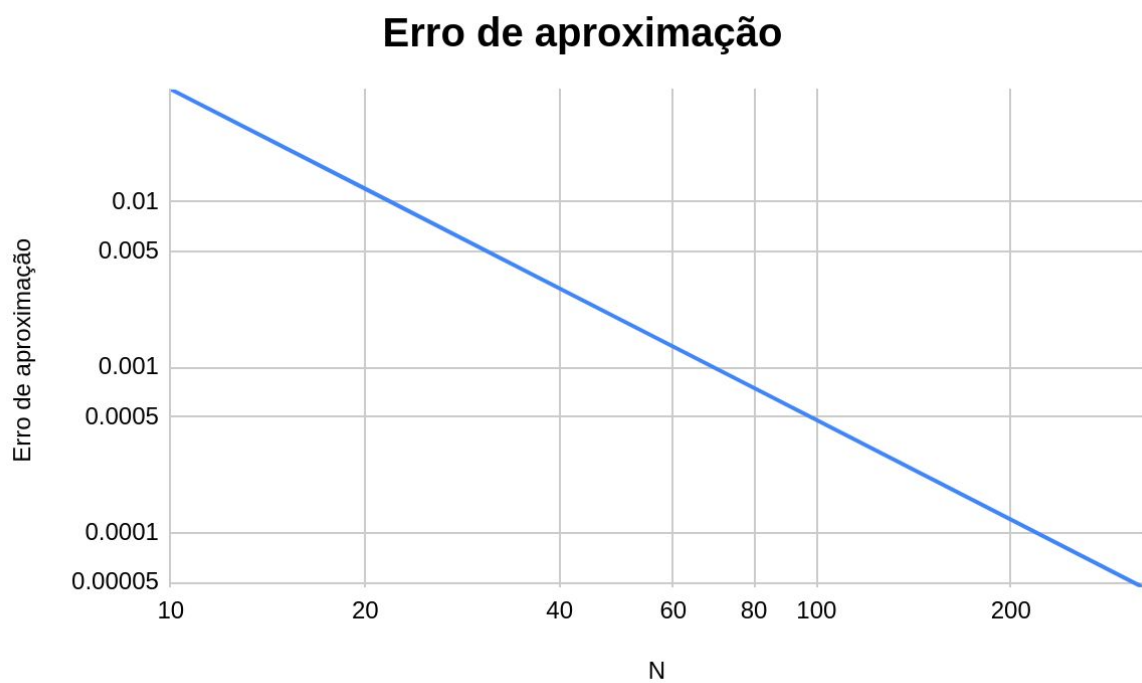
Distribuição 3D da temperatura em função do tempo



Além disso calculando o erro de aproximação para a solução utilizando o método de Crank-Nicolson, obtemos:

N	Erro de aproximação
10	0.0477794380800296
20	0.011990054057935406
40	0.0029926797918580217
80	0.0007487551993363706
160	0.00018717060447448475
320	4.679151404185511e-05

Com esses valores de erros obtemos o seguinte gráfico para o erro:



## Conclusão

Após a implementação e observação do comportamento dos erros de truncamento, erros de aproximações e velocidade de execução dos métodos de Condicionamento Convergente, método de Euler e método de Crank-Nicolson, conseguimos chegar a conclusão que a partir de um mesmo  $N = 320$ , temos que, apesar do Método de Condicionamento Convergente possuir o menor erro de aproximação na ordem de  $2.955251310773205e-06$  (considerando o  $\lambda = 0.25$ ), esse método foi o que mais demorou para rodar, já o método de Euler possui uma velocidade de execução muito maior, contudo o seu erro de aproximação foi muito maior comparativamente com o erro de aproximação do método Condicionamento Convergente sendo o erro na ordem de  $0.00099675666629917$ .

Por fim, para o método de Crank-Nicolson temos um tempo de execução similar com o método de Euler, porém com um erro de aproximação menor parecido com o erro observado pelo método de Condicionamento Convergente dado por aproximadamente  $6.06902862796202e-06$ . Sendo que o método de Euler possui um erro de aproximação 337,2832 maior que o método Condicionamento Convergente, o método de Crank um erro 2,053642141 maior que o Condicionamento Convergente e o método de Euler 164,2366 maior.

Portanto, para os métodos implícitos, por serem mais rápidos, pode se rodá-los para valores de  $N$  maiores, obtendo-se valores de erros menores.

Comparação do o erro de aproximação entre os métodos:

Euler > Crank-nicolson > Condicionamento Convergente

Velocidade de execução:

Crank-nicolson = Euler > Condicionamento Convergente

